

# بررسی آثار برخورد یون‌های مختلف بر سطح آلومینیوم با استفاده از دستگاه پلاسمای کانونی نوع مدر با انرژی $2.5 \text{ kJ}$

زهرا شهبازی راد، مجید شهریاری و فریدون عباسی دوانی

گروه کاربرد پرتوها، دانشکده مهندسی هسته‌ای، دانشگاه شهید بهشتی تهران

(دریافت: ۸۹/۱۲/۲۰ - پذیرش: ۹۰/۲/۳۱)

## چکیده

هدف از این تحقیق بررسی اثرات و تغییراتی است که بر اثر برخورد یون‌های مختلف تولیدی توسط دستگاه پلاسمای کانونی ( $8.6 \mu\text{F}$ ) SBUPF1 ( $2.5 \text{ kV}$ ) نوع مدر بر روی سطح آلومینیوم به وجود می‌آید. گازهای Ar و H+1%Kr به عنوان گاز عملکردی در دستگاه پلاسمای کانونی استفاده شد. برای بدست آوردن بیشینه چگالی یونی، فشار و ولتاژ عملکردی بهینه برای گاز Ar به ترتیب  $0.45 \text{ mbar}$  و  $22 \text{ kV}$  به ترتیب برابر  $5 \text{ mbar}$  و  $23 \text{ kV}$  تعیین شد. برای تحلیل اثرات به وجود آمده بر روی سطح، از تصاویر SEM و برای آنالیز عنصری نمونه‌ها، از طیف‌نگاری EDX استفاده شد. ذوب‌شدگی، تبخیر سطحی، فرورفتگی‌ها و برجستگی‌ها، به وجود آمدن ترک و شکاف در سطح از جمله اثرات مشاهده شده بر روی سطح آلومینیوم با استفاده از تصاویر SEM می‌باشد. هم‌چنین شدت این اثرات در ارتفاعات مختلف از مکان تولید یون در داخل دستگاه پلاسمای کانونی مورد بررسی قرار گرفت. در آنالیز عنصری نمونه‌های آلومینیوم با استفاده از تکنیک EDX نفوذ یون‌های مس ناشی از کندو پاش از آند دستگاه در هنگام تشکیل پیچ، به داخل نمونه‌های آلومینیوم مشاهده شد. محاسبات SRIM برای تعیین عمق نفوذ یون‌ها در داخل نمونه‌های آلومینیوم انجام شده است.

**واژه‌های کلیدی:** پلاسمای کانونی، آلومینیوم، مورفولوژی سطح، توزیع مکانی یون‌ها، میکروسکوپ الکترونی، طیف نگار پاشنگانی اشعه ایکس، عمق نفوذ یون‌ها.

## Investigation of different ion effects on the Aluminum Samples with a 2.5kJ Mater Type Plasma Focus Device

Z. Shahbazi rad, M. Shahriari and F. Abbasi Davani

Radiation Application Department, Shahid Beheshti University, Tehran, Iran

(Received 10 March 2011, accepted 21 May 2011)

### Abstract

The main purpose of this work is to investigate the effects of different ions produced in plasma focus device (SBUPF1) with the specification of ( $8.6 \mu\text{F}$ ,  $25 \text{ kV}$ ,  $2.5 \text{ kJ}$ ) on the Aluminum surface. Also the possibility of ion implantation with the use of this device has been investigated. Argon and Hydrogen+1%Krypton used as working gas. For determining optimum ion density, optimum pressure and operating voltage for Argon as operating gas have been obtained ( $0.45 \text{ mbar}$  and  $22 \text{ kV}$  respectively). These parameters for Hydrogen+1%Krypton were  $5 \text{ mbar}$  and  $23 \text{ kV}$  respectively. Irradiated samples have been analyzed with SEM technique for morphological and surface study of samples. The EDX spectroscopy and the SRIM calculations have been done to determine the composition of samples and the penetration depth of the ions in the samples respectively. Melting and surface evaporation effects and generation of cracks were seen in these samples. The intensity of these effects for the samples put in different height from the anode top has been determined. Elemental analysis with EDX technique showed that copper ions penetrated into the samples due to sputtering from anode.

**Keywords:** Plasma Focus, Surface Morphology, Ion Spatial Distribution, Energy Dispersive X-ray, Penetration Depth of Ions.

E-mail of corresponding author: Z\_shahbazi22@yahoo.com

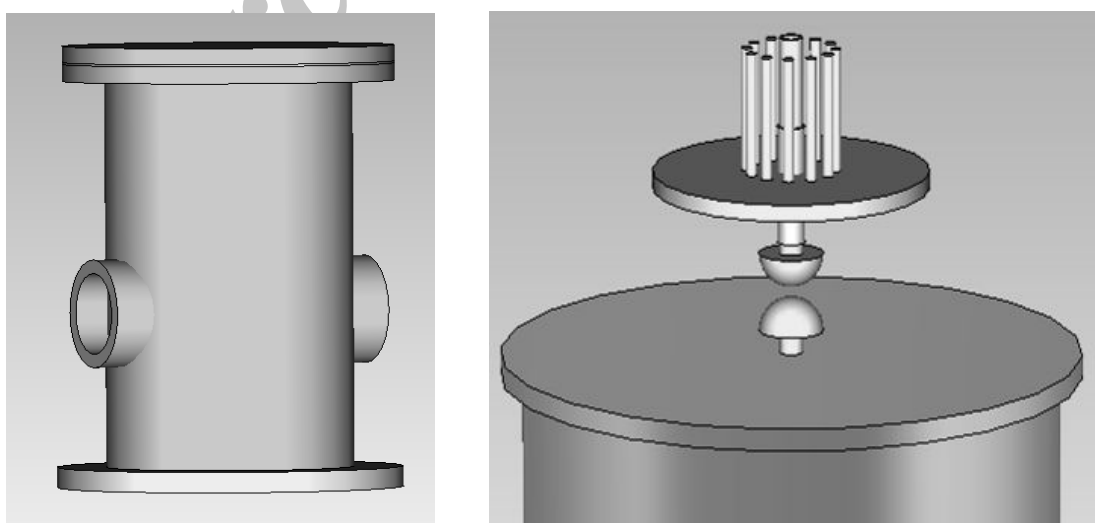
## مقدمه

دستگاه پلاسمای کانونی SBUPF1 نوع مدریک نوع از دستگاه‌های پینچ Z می‌باشد. همان‌طور که در شکل (۱) مشاهده می‌شود، این دستگاه از یک استوانه هم محور به نام آند و ۱۲ استوانه هم محور به نام کاتد تشکیل شده است. الکترودهای آند و کاتد از جنس مس هستند که در داخل یک محفظه پر شده توسط گاز قرار گرفته است. این دستگاه پلاسمای کانونی دارای بیشینه انرژی  $J = 2/5 \text{ kJ}$  است که توسط یک خازن هم محور با ظرفیت  $U = 8/6 \text{ kV}$  و بیشینه ولتاژ  $25 \text{ kV}$  تغذیه می‌شود. الکترود آند از طریق یک سوئیچ تریگاترون ولتاژ بالا-جریان بالا به خازن متصل می‌شود. زمانی که ولتاژ بالا به الکترودها اعمال می‌شود، فاز شکست اتفاده و لایه جریان بر اثر اعمال میدان الکترومغناطیسی بین الکترودها در راستای محور آند شروع به حرکت می‌کند. زمانی که لایه جریان به انتهای آند می‌رسد بر اثر اعمال نیروی لورنتس لایه جریان متراکم می‌شود که این فاز، فاز شعاعی نامیده می‌شود. در انتهای این فاز به خاطر ناپایداری  $m=0$  ستون پلاسمای داغ و چگال برای مدت زمان کوتاه تشکیل می‌شود [۲۱و۲]. این ستون پلاسما چشممه قوی از تابش‌های ایکس سخت و نرم، نوترون (زمانی که گاز دوتیریوم به عنوان گاز پر کننده استفاده می‌شود)، الکترون، و یون می‌باشد.

امروزه آلومینیوم به دلیل خواص ویژه‌ای چون استحکام، رسانایی، مقاومت در برابر خوردگی، سبکی، غیرمغناطیس بودن، پایداری محیطی و غیره در کاربردهای بسیاری از جمله تولید در و پنجره، نمای ساختمان‌ها، در صنعت کشتی‌سازی، صنعت هواپیما، صنعت نظامی، صنایع الکترونیک و... مورد استفاده قرار می‌گیرد. بنابراین مطالعه خواص این فلزات، اندازه‌گیری این خواص، بررسی عوامل تأثیرگذار بر روی خواص آلومینیوم، در استفاده مطلوب‌تر و بهینه‌تر از این فلز در کاربردهای مختلف بسیار مفید است.

هم‌چنین از فلز آلومینیوم به عنوان ابزار تشخیصی می‌توان استفاده کرد. به عنوان مثال اگر ذرات پرانرژی مانند یون‌های پرانرژی بر سطح آلومینیوم بتابند اثرات به جای مانده بر روی سطح به ازای یون‌های مختلف و هم‌چنین به ازای انرژی‌ها، حرارت و شرایط مختلف محیطی و مکانی با هم متفاوت خواهند بود.

در این تحقیق از فلز آلومینیوم برای بررسی اثرات برخورد یون‌های مختلف تولیدی در دستگاه پلاسمای کانونی نوع مدر SBUPF1 و هم‌چنین برای تعیین توزیع مکانی یون‌های تولید شده داخل این دستگاه استفاده می‌شود.



شکل ۱. (۱) محفظه، (۲) کاتدها، (۳) آند، (۴) غلاف عایق، (۵) سوئیچ تریگاترون، (۶) خازن

امشاهده ۱ TDS 1002B با فرکانس نمونه‌برداری Gs/s امشاهده می‌شود.

نمونه‌های آلومینیوم با ابعاد ۱۲ cm طول، ۱۰ cm عرض، و ۱ mm ضخامت، با استفاده از یک نگهدارنده در بالای آند دستگاه پلاسمای کانونی و در مرکز آن قرار گرفته است. نمونه‌ها در فوائل مختلف ۱، ۴، ۱۰ سانتی‌متری از نوک آند و در داخل محفظه دستگاه پلاسمای کانونی قرار گرفته است. هر کدام از نمونه‌ها توسط یون‌های تولیدی دستگاه پلاسمای کانونی بعضی توسط یک شات و برخی دیگر توسط ۸ شات خوب مورد پرتودهی قرار می‌گیرد.

#### نتایج و بحث

در ابتدا ولتاژ و فشار بهینه که در آن بیشینه گسیل یونی و پینچ‌های قوی اتفاق می‌افتد، یکباره از ای گاز آرگون و بار دیگر به از ای گاز هیدروژن +۱٪ گاز کریپتون یافت شد. مقدار kV ولتاژ و فشار بهینه به از ای گاز آرگون به ترتیب برابر با ۲۲ و ۰/۴۵ mbar است. این پارامترها در مورد گاز هیدروژن +۱٪ گاز کریپتون به عنوان گاز عملکردی به ترتیب برابر مقادیر ۲۳ kV و ۴۵ mbar به دست آمد. مشتق جریان تخلیه و جریان تخلیه نمونه‌ای برای دستگاه پلاسمای کانونی SBUPF1 به از ای گازهای عملکردی آرگون و هیدروژن +۱٪ کریپتون به ترتیب در شکل‌های (۲-الف) و (۲-ب) نمایش داده شده است.

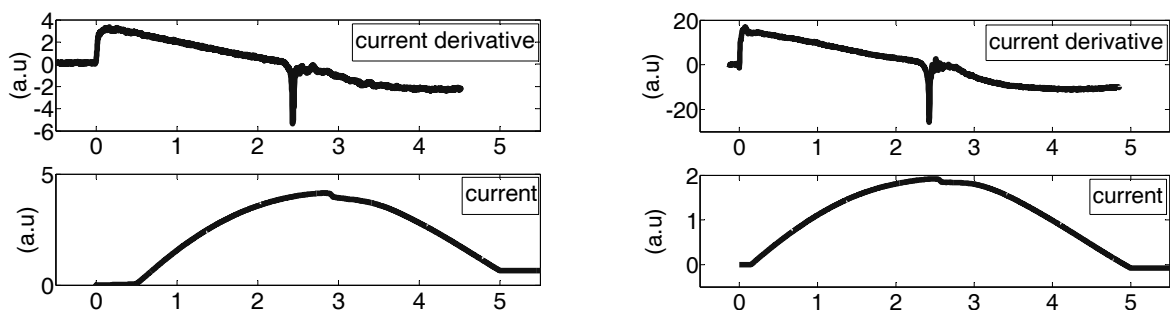
نمونه‌های آلومینیومی که توسط یون‌های Ar و H+1%Kr به از ای یک شات مورد پرتودهی قرار گرفته‌اند در شکل (۳) نمایش داده شده‌اند. این دو نمونه در فاصله ۱ cm از نوک آند قرار گرفته‌اند. همان‌طور که مشاهده می‌شود زمانی که گاز H+1%Kr به عنوان گاز عملکردی مورد استفاده قرار می‌گیرد، مساحتی از نمونه که توسط یون‌ها تحت تأثیر قرار می‌گیرد نسبت به حالتی که Ar به عنوان گاز عملکردی مورد استفاده قرار می‌گیرد، افزایش می‌یابد. دلیل احتمالی این اثر، افزودن درصد کمی از یک گاز سنگین مانند کریپتون به عنوان گاز افزودنی به یک گاز سبک‌تر یعنی هیدروژن می‌باشد.

در این تحقیق هدف ما بررسی اثرات سطحی یون‌های مختلف تولید شده توسط ستون پلاسمای دستگاه پلاسمای کانونی بر روی فلز آلومینیوم در فوائل مختلف نسبت به نوک آند می‌باشد. هم‌چنین با استفاده از این اثرات بر روی سطح آلومینیوم، توزیع مکانی یون‌های تولید شده در فوائل مختلف نسبت به نوک آند تعیین می‌شود. هم‌چنین در این تحقیق امکان نفوذ یون‌ها به داخل سطح آلومینیوم با استفاده از تکنیک EDX مورد بررسی قرار گرفت. برای تعیین عمق نفوذ یون‌ها در داخل نمونه‌های آلومینیوم از کد SRIM استفاده شد.

#### مواد و روش آزمایش‌ها

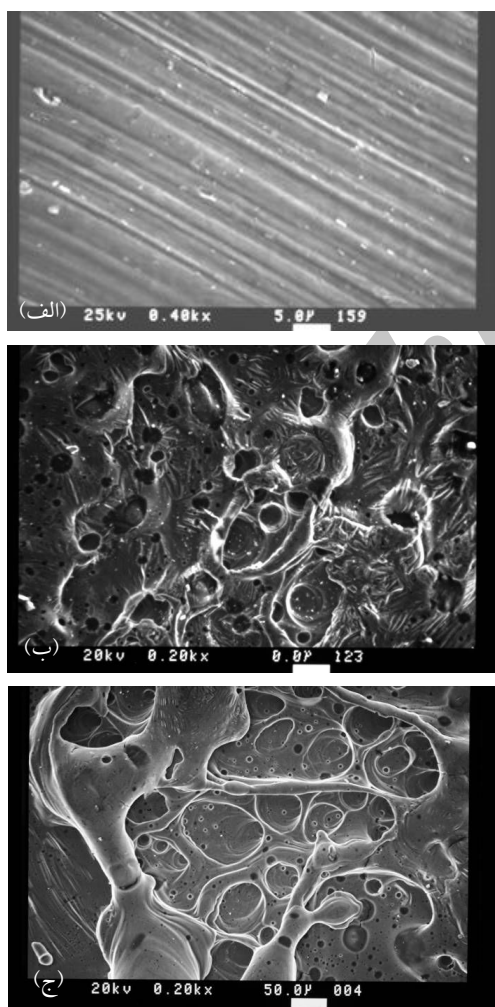
در این آزمایش از دستگاه پلاسمای کانونی SBUPF1 استفاده شده است. جریان پیک زمانی که دستگاه در بیشینه ولتاژ عملکردی کار می‌کند ۱۶۸ kA است که دارای دوره تناوب ۱۰/۶  $\mu s$  است. اندوکتانس کل سیستم حدود ۷۱ nH است. حجم محفظه مورد استفاده  $8290 cm^3$  است. اطلاعات بیشتر در مورد این دستگاه پلاسمای کانونی در مرجع [۳] قابل مشاهده است.

در این آزمایش یکبار گاز آرگون و بار دیگر گاز هیدروژن +۱٪ کریپتون به عنوان گاز عملکردی دستگاه پلاسمای کانونی مورد استفاده قرار گرفت. در ابتدا ولتاژ و فشار بهینه به از ای هر یک از گازها تعیین شد. زمانی که دستگاه در ولتاژ و فشار بهینه به از ای گاز عملکردی کار می‌کند، بهترین تخلیه در دستگاه پلاسمای کانونی اتفاق می‌افتد و در نتیجه بیشترین مقدار یون از ستون پلاسما گسیل می‌شود. برای تحقق این هدف به از ای هر ولتاژ و فشار، جریان تخلیه دستگاه پلاسمای کانونی توسط پیچه رگوفسکی که در اطراف مسیر جریان قرار گرفته است، اندازه‌گیری می‌شود. ثابت کالیبراسیون پیچه رگوفسکی  $kA/V$  که نحوه طراحی و ساخت این پیچه در مرجع [۴] ذکر شده است. مشتق جریان خروجی که با استفاده از پیچه رگوفسکی مورد اندازه‌گیری قرار می‌گیرد با استفاده از یک اسیلوسکوپ مدل

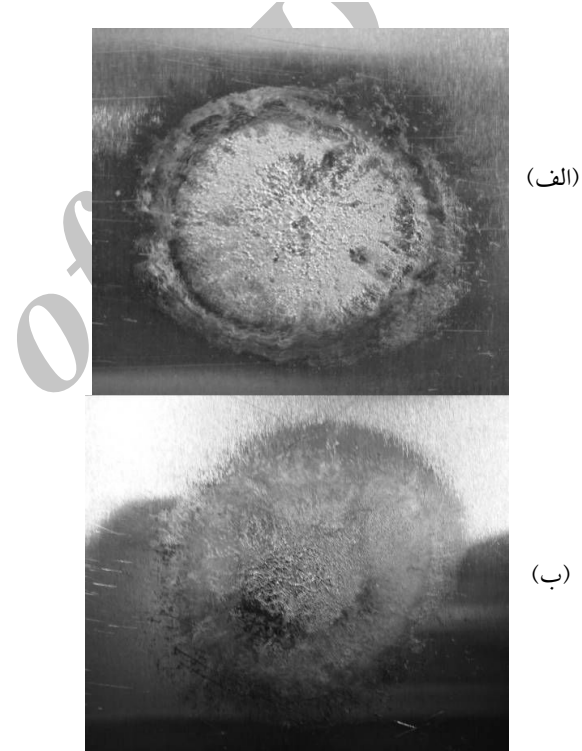


شکل ۲. مشتق جریان و جریان تخلیه نمونه‌ای دستگاه پلاسمای کانونی SBUPF1، (الف) در ولتاژ ۲۲kV و فشار ۰/۴۵ mbar گاز آرگون، (ب) در ولتاژ ۲۳kV و فشار ۵ mbar گاز هیدروژن+۱٪ گاز کرپیتون

یون قابل مشاهده است. شکل‌های (۴-ب) و (۴-ج) ویژگی‌های متفاوتی را به ازای پرتودهی توسط یون‌های مختلف در مورفولوژی سطح نشان می‌دهد.



شکل ۴. تصاویر SEM نمونه‌های (الف) پرتونده، (ب) پرتودیده شده توسط گاز آرگون، (ج) پرتودیده توسط گاز هیدروژن+۱٪ گاز کرپیتون به ازای یک شات



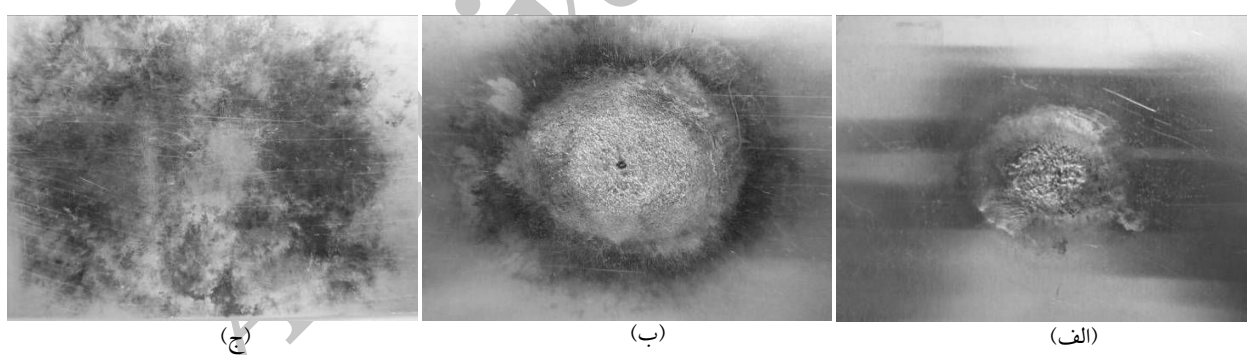
شکل ۳. نمونه‌های آلومینیوم پرتوداده شده در یک شات به ازای، (الف) گاز آرگون، (ب) گاز هیدروژن+۱٪ گاز کرپیتون

همچنین مشاهده می‌شود که تغییرات رنگی مشاهده شده در سطح نمونه‌های آلومینیوم پرتودیده توسط گاز H+1%Kr بیشتر از تغییرات مشاهده شده در سطح نمونه‌هایی است که توسط گاز Ar پرتودیده‌اند.

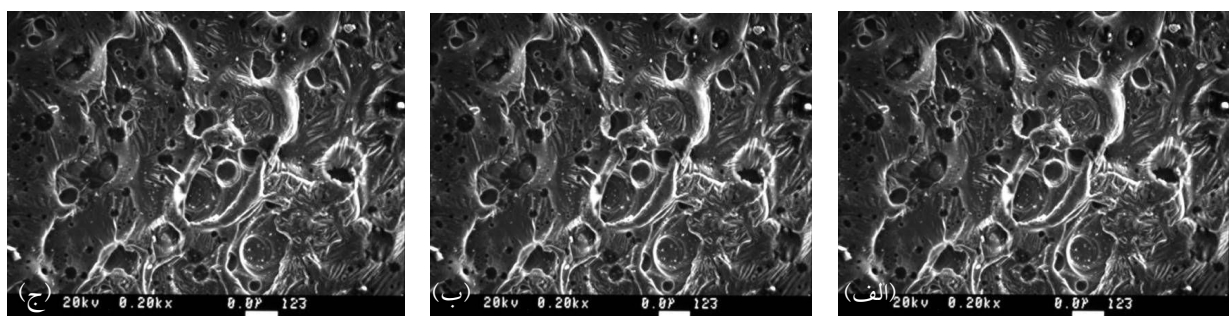
مورفولوژی سطح نمونه‌های آلومینیوم با استفاده از تکنیک تصویربرداری با میکروسکوپ الکترونی روبشی (SEM) انجام شده است. تصاویر SEM قبل و بعد از پرتودهی توسط یون‌های Ar و H+1%Kr در شکل (۴) نمایش داده شده است. در شکل (۴-الف) تصویر نمونه قبل از پرتودهی توسط

زده شد. اثرات مشاهده شده بر روی نمونه‌ها در فواصل مختلف از نوک آند نشان می‌دهد که توزیع یون‌ها بر روی نمونه‌ها در فواصل نزدیک به نوک آند متمرکزتر است و اثر ذوب شدگی و تخریب در سطح نمونه‌ها در این نمونه‌ها نسبت به نمونه‌هایی که در فواصل بیشتر از نوک آند قرار دارند بیشتر است. تصاویر SEM سطوح نمونه‌های آلومینیوم پرتو دیده در فواصل مختلف نسبت به نوک آند در شکل (۷) و شکل (۸) به ترتیب به ازای گازهای Ar و H+1%Kr به عنوان گاز عملکردی قابل مشاهده است. با استفاده از این تصاویر اثرات نفوذ یون، تولید مناطق برجسته، تبخیر سطحی و ذوب شدگی به ازای هر دو گاز عملکردی قابل مشاهده است. در نمونه‌های پرتو دیده شده توسط گاز Ar مشاهده می‌شود که برای نمونه‌هایی که در فاصله ۱ cm از نوک آند قرار گرفته‌اند، تعداد فرورفتگی‌ها و برجستگی‌ها به خاطر برخورد یون، بیشتر از نمونه‌هایی است که در فواصل ۴ cm و ۱۰ cm قرار گرفته‌اند.

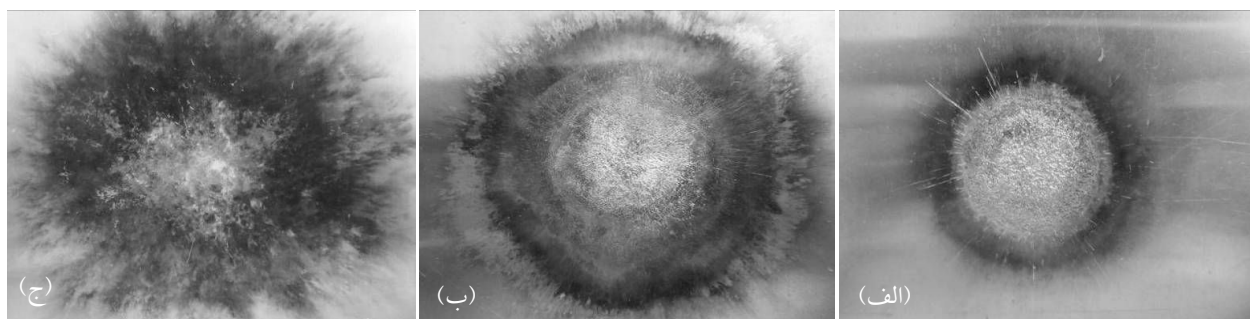
اثرات ذوب شدگی و تبخیر سطحی و تولید مناطق برجسته در مکان برخورد یون روی نمونه‌ها مشاهده می‌شود. در نمونه‌هایی که توسط گاز Ar پرتو دیده‌اند مشاهده می‌شود که چگالی یون‌های نفوذ کرده در داخل نمونه و مناطق برجسته تولید شده بر روی نمونه بیشتر از نمونه‌هایی است که توسط گاز H+1%Kr پرتو دیده‌اند. هم‌چنین سطح اثر مشاهده شده بر روی نمونه‌هایی که با یون Ar پرتو دیده‌اند بیشتر از سطح اثر بر روی نمونه‌هایی است که با یون H+1%Kr پرتو دیده‌اند. در حالت دوم اثر ذوب شدگی بیشتر از اثرات تولید مناطق برجسته و نفوذ یون به داخل نمونه می‌باشد. هم‌چنین مشاهده می‌شود که مناطق ذوب شده به هم متصل شده‌اند. اثر برخورد یون‌ها بر روی نمونه‌های آلومینیوم که در فواصل مختلف از نوک آند قرار گرفته است در شکل (۵) و شکل (۶) به ترتیب به ازای گاز Ar و گاز H+1%Kr به عنوان گاز پر کننده دستگاه پلاسمای کانونی نشان داده شده است. نمونه‌ها در فواصل ۱، ۴ و ۱۰ سانتی‌متری از از نوک آند قرار گرفته‌اند. ۸ شات خوب (در شرایط بهینه ولتاژ و فشار) برای هر نمونه



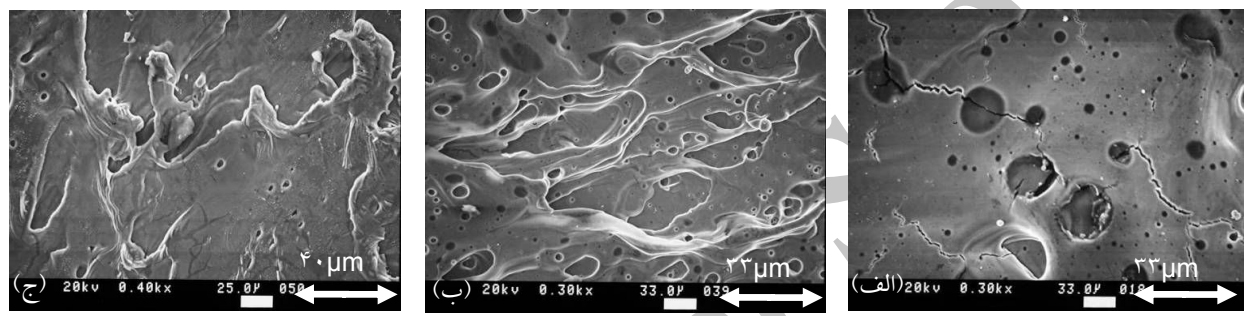
شکل ۵. نمونه‌های آلومینیوم پرتو دهی شده توسط یون‌های Ar در فواصل، (الف) ۱cm، (ب) ۴cm، (ج) ۱۰cm از نوک آند



شکل ۶. تصاویر میکروسکوپ الکترونی نمونه‌های آلومینیوم پرتو دیده با یون‌های Ar، (الف) ۱cm، (ب) ۴cm، (ج) ۱۰cm از نوک آند به ازای ۸ شات



شکل ۷. نمونه‌های آلومینیوم پرتودهی شده توسط یون‌های  $\text{H}+1\%\text{Kr}$  (الف) ۱cm ، (ب) ۴cm ، (ج) ۱۰cm از نوک آند



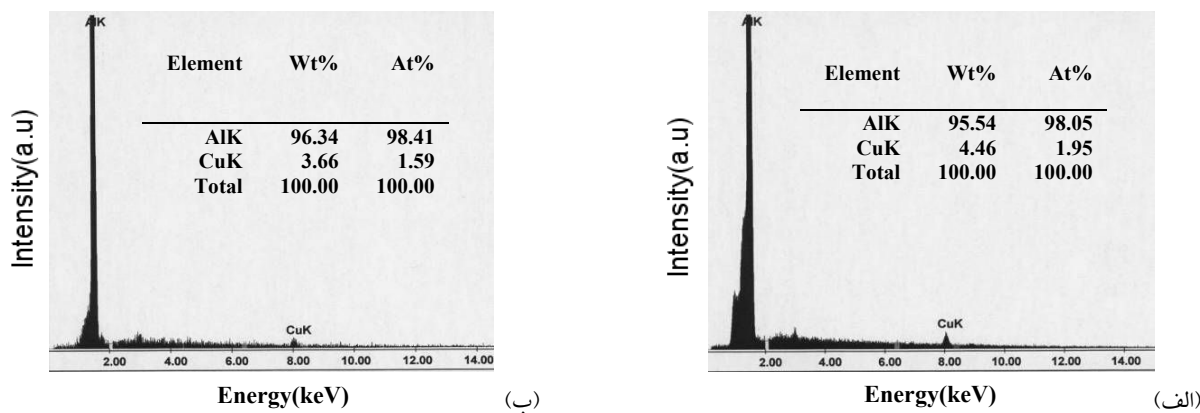
شکل ۸. تصاویر میکروسکوپ الکترونی نمونه‌های آلومینیوم پرتودیده با یون‌های  $\text{H}+1\%\text{Kr}$  (الف) ۱cm ، (ب) ۴cm ، (ج) ۱۰cm از نوک آند به ازای ۸ شات

گرفته‌اند، تخریب سطح بیشتر از نمونه‌هایی است که در فواصل دورتر قرار گرفته‌اند.

هم‌چنین با توجه به اثرات مشاهده شده بر روی نمونه‌ها مطابق شکل (۵) و (۶)، توزیع مکانی یون‌ها در فضای بالای نوک آند در دستگاه پلاسمای کانونی، مخروطی شکل است. با استفاده از طیف‌نگاری پاشندگی انرژی اشعه ایکس (EDX) درصد عناصر موجود در نمونه‌ها و امکان نفوذدهی یون داخل نمونه‌های آلومینیوم با استفاده از دستگاه پلاسمای کانونی مورد بررسی قرار گرفت. نتایج این طیف‌نگاری در شکل (۹) نمایش داده شده است. طیف‌نگاری نمونه پرتوتدیده نشان می‌دهد که تنها عنصر موجود در داخل نمونه آلومینیوم با نسبت ۱۰۰٪ است. آنالیز نمونه‌های پرتودیده توسط EDX، حضور دو عنصر آلومینیوم و مس در نمونه را تأیید می‌کند. برای یک نمونه پرتو دیده شده آنالیز به ازای دو نقطه مختلف بر روی نمونه مطابق شکل (۹) انجام شد: یک نقطه در مکان‌های نزدیک به مرکز پرتودهی و نقطه دیگر در فواصل دورتر از مرکز پرتودهی. آنالیز عنصری در نقطه نزدیک به مرکز پرتودهی نشان می‌دهد که درصد عنصر

هم‌چنین مشاهده می‌شود که هر چه فاصله از آند افزایش پیدا می‌کند، تخریب سطح نمونه‌ها کاهش پیدا می‌کند. هم‌چنین برای نمونه‌هایی که در فاصله ۱۰ cm قرار گرفته‌اند اثر ذوب شدگی کمتر از اثرات دیگر مشاهد می‌شود.

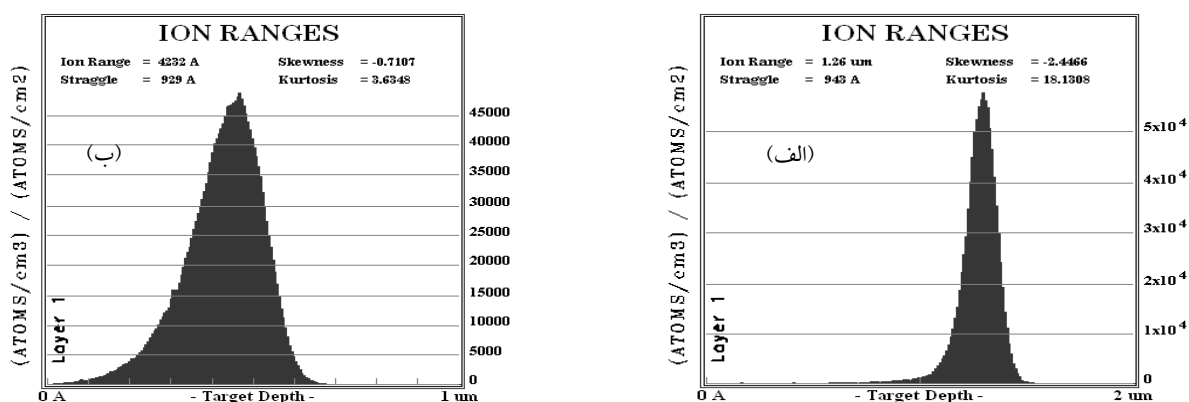
در مورد نمونه‌هایی پرتودیده توسط یون  $\text{H}+1\%\text{Kr}$ ، مشاهده می‌شود که مساحت فرورفتگی‌های ایجاد شده به خاطر برخورد یون‌ها بزرگتر از مساحت فرورفتگی‌ها در نمونه‌های پرتو دیده شده توسط یون Ar است. اثر دیگر قابل مشاهده شده تولید ترک‌هایی در ابعاد میکرو است. به نظر می‌رسد که این اثر به خاطر وجود ۱٪ گاز سنگین کربیتون در محتوای گاز عملکردی است. در نمونه‌هایی که در فاصله ۴ cm از نوک آند قرار دارد هر دو اثر ذوب شدگی و تولید فرورفتگی‌ها و بر جستگی‌ها مشاهده می‌شود ولی سطح این اثرات نسبت به نمونه‌هایی که در فاصله ۱cm قرار گرفته‌اند، کمتر است. در نمونه‌هایی که در فاصله ۱۰ cm قرار گرفته‌اند، ذوب شدگی نسبت به نمونه‌هایی که در فاصله‌های کمتر قرار گرفته‌اند، کمتر است. به ازای هر دو گاز عملکردی مشاهده می‌شود که نمونه‌هایی که در فواصل نزدیک‌تر نسبت به نوک آند قرار



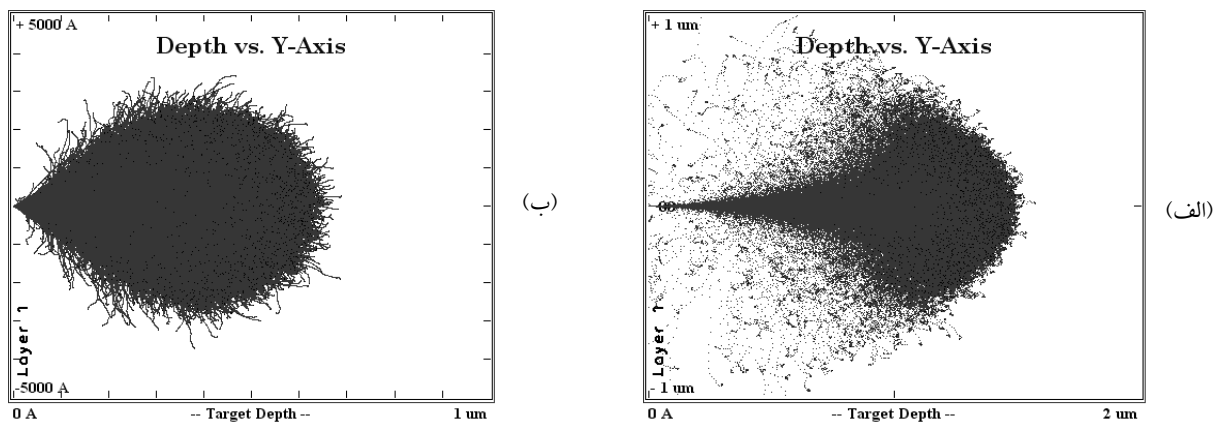
شکل ۹. طیف نگاری EDX نقاط روی نمونه‌های پرتودیده در فواصل مختلف نسبت به مرکز پرتودهی، (الف) نزدیک مرکز پرتودهی، (ب) دورتر از مرکز

نفوذ آن‌ها به قدری کم باشد که قابل صرفنظر کردن باشد که این مساله نیاز به تحقیقات بیشتری دارد. برای تخمین عمق نفوذ یون‌ها در داخل نمونه از محاسبات توسط کد SRIM استفاده شد. محاسبات SRIM نشان می‌دهد که اگر بیشترین انرژی از نظر احتمال وقوع برای یون‌های هیدروژن در داخل دستگاه پلاسمای کانونی  $150 \text{ keV}$  باشد، عمق نفوذ یون‌ها در داخل نمونه آلومینیوم  $1.27 \mu\text{m}$  است که محاسبات مربوطه در شکل (۱۰-الف) قابل مشاهده است. عمق نفوذ یون‌های آرگون در داخل آلومینیوم به ازای یون‌های آرگون با بیشترین احتمال وقوع انرژی  $500 \text{ keV}$  برابر با  $0.52 \mu\text{m}$  است (مطابق شکل (۱۰-ب)). عمق نفوذ یون‌های هیدروژن و آرگون داخل نمونه آلومینیوم در شکل (۱۱-الف) و (۱۱-ب) نمایش داده می‌شود.

آلومینیوم در نمونه ۵۴/۵۰٪ است و درصد حضور مس ۴۶/۹۵٪ است (شکل (۹-الف)). برای نقطه‌ای که دورتر از مرکز پرتودهی قرار دارد درصد حضور آلومینیوم ۳۴/۹۶٪ و درصد حضور مس ۶۶/۳٪ (شکل (۹-ب)) است. این آمالیز نشان می‌دهد که بعد از پرتودهی مقداری مس به داخل نمونه نفوذ پیدا کرده است. به دلیل این‌که آند از مس ساخته شده است، در زمان وقوع پینچ بر اثر برخورد الکترون بر روی نوک آند، کندوپاش در سطح مس اتفاق می‌افتد. این یون‌ها به داخل نمونه آلومینیوم نفوذ می‌کنند. انتظار داشتیم که درصدی یون هیدروژن و یا آرگون به داخل نمونه‌های آلومینیوم بر اثر پرتودهی با یون‌های هیدروژن و آرگون مشاهده کنیم، ولی در عمل این‌طور نشد. این ممکن است به دقت دستگاه طیف‌نگاری EDX برگردد یا ممکن است به این خاطر باشد که یون‌های مذکور به داخل نمونه نفوذ پیدا نکرده باشند و یا



شکل ۱۰. محاسبات برد یون‌ها در آلومینیوم برای، (الف) یون‌های هیدروژن با انرژی  $500 \text{ keV}$  و، (ب) یون‌های آرگون با انرژی  $500 \text{ keV}$



شکل ۱۱. محاسبات عمق نفوذ، (الف) یون‌های هیدروژن با انرژی ۱۵۰ keV و، (ب) یون‌های آرگون با انرژی ۵۰۰ keV در نمونه‌های آلومینیوم با استفاده از کد SRIM

نمونه‌های آلومینیوم، تعیین توزیع مکانی یون‌ها در فضای بالای نوک آند است که این توزیع مکانی چگالی یون‌ها یک شکل مخروطی مانند دارد.

با توجه به محاسبات SRIM می‌توان نتیجه گرفت که عمق نفوذ یون‌های هیدروژن در داخل نمونه بیشتر از عمق نفوذ یون‌های آرگون در داخل نمونه آلومینیوم است.

#### منابع

1. M. V. Roshan, S. V. Springha, A. R. Talebitaher, R. S. Rawat and P. Lee, *Nuclear activation measurement of high energy deuterons from a small plasma focus*, Physics Letters A, 373 (2009) 851–855.
2. M. Bhuyan, N. K. Neog, S. R. Mohanty, C. V. S. Rao and P. M. Raole, *Studies on Ion Emission from the Plasma Focus Device by Using Ion Collector and Track Detector*, Journal Fusion Energy 29 (2010) 177–180.
3. B. Shirani and F. Abbasi, *Construction and Experimental Study of a 2.5kJ, Simply configured, mather type plasma focus device*, Brazilian Journal of Physics, 40(2010) 125-130.
4. ز، شهبازی راد و ن، دارستانی و ب، شیرانی و و، دامیده و ف، عباسی و م، شهریاری، طراحی و ساخت پیچه‌ی روگوفسکی مناسب برای اندازه‌گیری جریان تخلیه الکتریکی در لحظه‌ی وقوع تنگش در دستگاه پلاسمای کاتونی SBUMTPF1، کفرانس فیزیک، دانشگاه ابوعلی سینا، شهریور ۱۳۸۹.

#### نتیجه گیری

در این تحقیق با توجه به آزمایشات انجام شده ابتدا مقدار فشار و ولتاژ بهینه به ازای گازهای Ar و H+1%Kr به عنوان گازهای عملکردی به دست آمد، که این مقادیر برای گاز Ar برابر ۰/۴۵ mbar و ۲۲ kV برای گاز H+1%Kr و ۵ mbar ۲۳ kV تعیین شد. نمونه‌های آلومینیوم در فواصل مختلف نسبت به نوک آند قرار داده شد و یکبار توسط یون‌های Ar و یکبار توسط یون‌های H+1%Kr مورد پرتوودهی قرار گرفت. ذوب شدگی، تبخیر سطحی، نفوذ یون‌ها، ترک‌های ریز، فرورفتگی و برجستگی به علت برخورد یون از جمله اثرات مشاهده شده بر روی سطح نمونه‌ها می‌باشد. هم‌چنین مشاهده شد که با فاصله گرفتن از نوک آند تخریب سطح آند و اثرات مشاهده شده بر اثر برخورد یون با سطح، به تدریج کاهش می‌یابد، ولی گستردگی این اثرات (سطح اثر) افزایش می‌یابد. تصاویر SEM نمونه‌های پرتو داده شده با یون‌های H+1%Kr ترک‌های ریزی در حد میکرو را نشان می‌دهد که این ترک‌ها در نمونه‌های پرتو داده شده توسط یون‌های Ar قابل مشاهده نیست. که این به خاطر وجود درصد کمی از یک یون سنگین مانند کربن باشد. طیف‌نگاری EDX وجود درصد کمی مس را داخل نمونه‌های آلومینیوم پرتو داده شده نشان می‌دهد که این به خاطر کندوپاش مس بر اثر برخورد الکترون با نوک آند در هنگام وقوع پیونج است.

نتیجه دیگر به دست آمده با توجه به اثرات مشاهده شده بر روی